



LABORATORIUM ANTEO Sp. z o.o.
ul. Chryzantem 23
41-700 Ruda Śląska
e-mail: laboratorium@anteo.pl

SPRAWOZDANIE Z BADAŃ PÓL ELEKTROMAGNETYCZNYCH W OTOCZENIU STACJI BAZOWEJ TELEFONII KOMÓRKOWEJ SIECI P4 DLA POTRZEB OCHRONY LUDZI I ŚRODOWISKA

Nr stacji	Miejsce wykonania pomiarów:	Data wykonania pomiarów:	Data wydania sprawozdania:
GZB0213A	44-102 Gliwice, ul. Bernardyńska 14	2024-06-12	2024-06-13
Zleceniodawca:	P4 Sp. z o.o. ul. Wynalazek 1, 02-677 Warszawa		
Nr ewidencyjny sprawozdania:	SP_2024-06-002-4-S_GZB0213A		
Sprawozdanie wykonała:	Sprawdził:	Autoryzował/Data:	

1. Wstęp

Badania wykonano na podstawie umowy z dnia 2018-08-31 pomiędzy firmą **Laboratorium Anteo sp. z o.o., ul. Chryzantem 23/1, 41-700 Ruda Śląska**, a firmą **P4 Sp. z o.o., ul. Wynalazek 1, 02-677 Warszawa**, przekazanej do realizacji laboratorium Anteo.

Sprawozdanie przedstawia wyniki sprawdzenia dotrzymania dopuszczalnych poziomów pól elektromagnetycznych w środowisku w otoczeniu instalacji - stacji bazowej **GZB0213A** będącej obiektem radiokomunikacyjnym P4 Sp. z o.o., w miejscach dostępnych dla ludności w otoczeniu ww. instalacji.

Wyniki pomiarów odnoszą się wyłącznie do istniejącej konfiguracji instalacji antenowej. Każda zmiana konfiguracji o ile zmiana ta może mieć wpływ na zmiany poziomów pól elektromagnetycznych wiąże się z koniecznością wykonania nowego badania

Laboratorium badawcze akredytowane przez PCA, Nr AB1294. Data ważności akredytacji: do 2027-10-27. Zakres wykonywanych przez laboratorium badań podany jest pod adresem www.pca.gov.pl.

Akredytacja Laboratorium w odniesieniu do normy ISO/IEC 17025:2018-02 oznacza spełnienie wymagań dotyczących kompetencji technicznych i systemu zarządzania, koniecznych dla zapewnienia wiarygodnych technicznie wyników badań.

2. Metoda badań

- Załącznik do rozporządzenia Ministra Klimatu z dnia 17 lutego 2020 r. *Sposoby sprawdzania dotrzymywania dopuszczalnych poziomów pól elektromagnetycznych w środowisku (Dz. U. 2022, poz. 2630)*.

3. Akty prawne

- Obwieszczenie Ministra Klimatu i Środowiska z dnia 21 listopada 2022 r. w sprawie ogłoszenia jednolitego tekstu rozporządzenia Ministra Klimatu w sprawie sposobów sprawdzania dotrzymywania dopuszczalnych poziomów pól elektromagnetycznych w środowisku (Dz. U. 2022, poz. 2630).
- Rozporządzenie Ministra Zdrowia z dnia 17 grudnia 2019 r. w sprawie dopuszczalnych poziomów pól elektromagnetycznych w środowisku (Dz. U. 2019, poz. 2448).

4. Odstępstwa/ograniczenia i uwarunkowania metody badawczej

Brak odstępstw/ograniczeń metody badawczej.

5. Lokalizacja obiektu badań

Badany obiekt znajduje się w miejscowości 44-102 Gliwice, ul. Bernardyńska 14.
Współrzędne geograficzne obiektu: 18°40'22.23"E, 50°18'37.17"N.

6. Opis badania

Badany obiekt jest obiektem radiokomunikacyjnym sieci komórkowej (radiowa stacja bazowa telefonii mobilnej w sieci o przeznaczeniu publicznym). Anteny zainstalowano na dachu budynku. Na obiekcie zainstalowano urządzenia pracujące w pasmach częstotliwości 3500MHz, 2600MHz, 2100MHz, 1800MHz, 900MHz, 800MHz oraz radiolinii 80GHz. Pomiarów pól elektromagnetycznych zostały wykonane w szczególności w tych miejscach, w których na podstawie przeprowadzonych obliczeń, stwierdzono występowanie w danych zakresach częstotliwości pól elektromagnetycznych o poziomach zbliżonych do dopuszczalnych. Na kierunku zbliżonym do azymutu anten pomiarów wykonano do obliczonej odległości występowania pól elektromagnetycznych o najwyższym poziomie w miejscach dostępnych dla ludności, pochodzących z badanej instalacji. Pomiarów wykonano w odległości nie mniejszej niż 0,3 m od urządzeń, obiektów i elementów metalowych.

Wszelkie dane dotyczące źródeł promieniowania (min. wysokość anten, częstotliwość pracy) oraz współrzędne geograficzne obiektu pochodzą od zleceniodawcy.

Badanie zostało przeprowadzone w godz. od 10:30 do 12:00 przez:

– Specjalista ds. pomiarów PEM

7. Warunki atmosferyczne

Temperatura powietrza	Przed: 13,7° C	Po: 13,7° C
Wilgotność powietrza	Przed: 67,8%	Po: 67,8%

Brak opadów atmosferycznych w czasie przeprowadzania badania.

Pomiary zostały wykonane przy temperaturze i wilgotności względnej nie wyższej niż dopuszczalna specyfikacja miernika.

8. Parametry techniczne obiektu badań

Parametry techniczne przekazane przez zleceniodawcę.

Tabela nr 1 – Parametry systemu nadawczo – odbiorczego pracującego w paśmie 3500MHz, 2600MHz, 2100MHz, 1800MHz, 900MHz, 800MHz

Tabela nr 2 – Parametry linii radioliniowej

Parametry systemu nadawczo odbiorczego pracującego w paśmie – 3500MHz, 2600MHz, 2100MHz, 1800MHz, 900MHz, 800MHz – tabela 1

Charakterystyka promieniowania					kierunkowa				
Rzeczywisty czas pracy [h/dobę]					Całodobowa 24h				
Warunki pracy					Znamionowe				
Rodzaj wytwarzanego pola					stacjonarne				
Lp.	Typ nadajnika	Antena Producent / Typ	Azymut [°]	Wysokość środka elektr. anteny [m n.p.t.]	Pasmo [Mhz]	Kąt nachylenia [°]	EIRP dla anteny [W]	LON	LAT
1	DBS3xxx/5xxx	Huawei ATR4518R6	110	28	800	0 - 10	12315	18°40'22.23"E	50°18'37.17"N
	2600				0 - 10	18°40'22.23"E		50°18'37.17"N	
2	DBS3xxx/5xxx	Huawei ATR4518R6	110	28	900	0 - 10	17274	18°40'22.25"E	50°18'37.17"N
	1800				0 - 10	18°40'22.25"E		50°18'37.17"N	
	2100				0 - 10	18°40'22.25"E		50°18'37.17"N	
3	DBS3xxx/5xxx	Huawei AAU5349	110	28,6	3500	-2 - 13	14731	18°40'21.67"E	50°18'37.30"N
4	DBS3xxx/5xxx	Huawei ATR4518R6	230	28	800	0 - 10	12315	18°40'21.76"E	50°18'36.96"N
	2600				0 - 10	18°40'21.76"E		50°18'36.96"N	
5	DBS3xxx/5xxx	Huawei ATR4518R6	230	28	900	0 - 10	17274	18°40'21.76"E	50°18'36.96"N
	1800				0 - 10	18°40'21.76"E		50°18'36.96"N	
	2100				0 - 10	18°40'21.76"E		50°18'36.96"N	
6	DBS3xxx/5xxx	Huawei AAU5349	230	28,6	3500	-2 - 13	14731	18°40'21.76"E	50°18'36.96"N
7	DBS3xxx/5xxx	Huawei ATR4518R6	345	28	800	0 - 10	12315	18°40'20.80"E	50°18'38.18"N
	2600				0 - 10	18°40'20.80"E		50°18'38.18"N	
8	DBS3xxx/5xxx	Huawei ATR4518R6	345	28	900	0 - 10	17274	18°40'20.80"E	50°18'38.18"N
	1800				0 - 10	18°40'20.80"E		50°18'38.18"N	
	2100				0 - 10	18°40'20.80"E		50°18'38.18"N	
9	DBS3xxx/5xxx	Huawei AAU5349	345	28,6	3500	-2 - 13	14731	18°40'20.80"E	50°18'38.18"N

Parametry systemu nadawczo – odbiorczego linii radioliniowej – Tabela nr 2

Charakterystyka promieniowania				kierunkowa					
Rzeczywisty czas pracy [h/dobę]				24					
Rodzaj wytwarzanego pola				stacjonarne					
Linia radiowa				Antena					
L p.	Typ nadajnika	Częstotliwość pracy [GHz]	Moc wyjściowa [dBm]	Typ/producent	Średnica anteny [m]	Azymut [°]	Wysokość zainstal. [m]	LON	LAT
1	OPTIX RTN/HUAWEI	80	19	0.6-80(VHLP2-80)	0,6	161	26,5	18°40'21.68"E	50°18'37.31"N

9. Sposób identyfikacji pola elektromagnetycznego

Niezbędnych informacji na temat źródeł pól udzielił Specjalista ds. Administracji Projektu P4 Sp. z o.o., który nie brał udziału w badaniach. Identyfikację źródeł i parametrów technicznych wykonano na podstawie analizy przekazanej ze zleceniem dokumentacji oraz obserwacji w miejscu wykonywania badań.

Z informacji zleciodawcy wynika, że podczas badania anteny użytkownika o sterowanych wiązkach zostały ustawione w sposób opisany zgodnie z punktem 13 ppkt.2 załącznika do rozporządzenia Ministra Klimatu z dnia 17 lutego 2020 r. (Dz. U. 2022 poz. 2630).

10. Opis terenu

Stacja bazowa telefonii komórkowej sieci P4 Sp. z o.o. GZB0213A zlokalizowana jest na dachu budynku w miejscowości 44-102 Gliwice, ul. Bernardyńska 14. Anteny sektorowe są zainstalowane na wysokości 28,0m oraz 28,6m n. p. t. Urządzenia nadawczo – odbiorcze znajdują się w szafach, które umieszczone są na dachu. Bezpośrednim sąsiedztwem stacji są tereny użyteczności publicznej oraz zabudowa mieszkaniowa.

W badanym środowisku zidentyfikowano urządzenia innych operatorów mogące mieć wpływ na wyniki mierzzonego pola EM. Pomiaru zostały przeprowadzone jako szerokopasmowe w danym zakresie częstotliwości, w związku z tym uwzględniają grupy instalacji/urządzeń emitujących pola EM o poziomach najwyższych w danym zakresie częstotliwości.

11. Sprzęt pomiarowy

Tabela nr 3 – Sprzęt pomiarowy

Lp.	Nazwa i typ urządzenia	Numer identyfikacyjny
1.	Zestaw pomiarowy NARDA NBM-520 wraz z sondą EF9091*	2403/01B D-2211 2402/18B A-0148
2.	Zestaw pomiarowy NARDA NBM-520 wraz z sondą EF0691*	2403/01B D-2211 2402/14B H-1142
3.	Termohigrometr UNI-T UT333	C221221326
4.	Dalmierz laserowy GLM 250 VF	209147077

*Zestaw pomiarowy przed wykonaniem pomiarów został sprawdzony za pomocą uniwersalnego testera sond UTEST-7

Tabela nr 4 – Szerokopasmowe mierniki pola elektromagnetycznego

Lp.	Nazwa i typ urządzenia	Zakres pomiarowy	Numer świadectwa wzorcowania	Data następnego wzorcowania
1.	Miernik Narda NBM-520	Zależny od sondy	LWiPM/W/404/23**	2025-11-08
2.	Sonda Narda EF9091	0,56 – 320V/m 80MHz – 90GHz	LWiPM/W/404/23**	2025-11-08
3.	Sonda Narda EF0691	0,58 – 540V/m 0,1MHz – 6GHz	LWiPM/W/404/23**	2025-11-08

**LWiPM – Laboratorium Wzorców i Metrologii Pola Elektromagnetycznego, Instytut Telekomunikacji, Teleinformatyki i Akustyki, Politechnika Wroclawska

Tabela nr 5 – Sprzęt uzupełniający

Lp.	Nazwa i typ urządzenia	Zakres pomiarowy	Numer świadectwa wzorcowania	Data następnego sprawdzenia
1.	Termohigrometr UNI-T UT333	-20 + +60°C 0 – 100%RH	466-1223/23***	2024-07-15
2.	Dalmierz laserowy Bosch GLM 250 VF	0,05 – 250m	215.1-M11-4180-116/13****	2024-06-21
3.	Urządzenie GPS GPSMAP 62ST	-	-	2024-09-09

***Laboratorium Pomiarowe INTRON

****Zakład Długości Kąta GUM

12. Wyniki badań

Tabela nr 6 – Wartości natężenia pola elektrycznego i magnetycznego

Nr pionu	Opis miejsca pomiaru	Zmierzona wartość natężenie pola ² E [V/m]	Natężenie pola ³ E [V/m]	Natężenie pola ⁴ H [A/m]	Wysokość Pomiaru ⁵ [m]	Współrzędne geograficzne pionu	Wartości WME ⁶	Wartości WMH ⁶
1	¹ PKP 90°, wejście do kościoła	1,5	1,8	0,005	2,00	50.31059 18.67347	0,07	0,07
2	PKP 100°, teren kościoła	*0,7	0,9	0,002	0,3-2,00	50.31030 18.67357	0,03	0,03
3	¹ GKP 110°, chodnik	1,1	1,4	0,004	2,80	50.31023 18.67342	0,05	0,05
4	PKP 161°, chodnik	1,5	1,8	0,005	2,00	50.30992 18.67294	0,07	0,07
5	¹ DPP, w płaszczyźnie otworu okiennego, ul. Świętojańska 7/8	2,4	3,0	0,008	1,80	-	0,11	0,11
6	PKP 150°, droga	1,3	1,6	0,004	2,00	50.30971 18.67358	0,06	0,06
7	PKP 190°, droga	2,1	2,6	0,007	2,00	50.30975 18.67230	0,09	0,09
8	GKP 230°, teren zielony	2,1	2,6	0,007	1,90	50.30981 18.67220	0,09	0,09
9	PKP 204°, teren zielony	1,6	2,0	0,005	1,80	50.30946 18.67204	0,07	0,07
10	PKP 240°, teren zielony	1,9	2,3	0,006	1,80	50.30999 18.67180	0,08	0,08
11	PKP 270°, chodnik	*0,7	0,9	0,002	0,3-2,00	50.310153 18.67166	0,03	0,03
12	PKP 208°, na balkonie, ul. Świętojańska 5c/10	3,1	3,8	0,010	1,80	-	0,14	0,14
13	PKP 275°, przy budynku	*0,7	0,9	0,002	0,3-2,00	50.31022 18.67099	0,03	0,03
14	GKP 230°, park	1,3	1,6	0,004	2,00	50.30930 18.67094	0,06	0,06
15	GKP 230°, chodnik	*0,7	0,9	0,002	0,3-2,00	50.30895 18.67032	0,03	0,03
16	GKP 230°, podwórze	*0,7	0,9	0,002	0,3-2,00	50.30876 18.66997	0,03	0,03
17	DPP, w płaszczyźnie otworu okiennego, parter	1,1	1,4	0,004	1,00	-	0,05	0,05
18	PKP 312°, schody do klatki schodowej nr 10b	1,9	2,3	0,006	2,00	50.31076 18.67191	0,08	0,08
19	PKP 316°, parking	*0,7	0,9	0,002	0,3-2,00	50.31110 18.67167	0,03	0,03
20	PKP 323°, parking	1,2	1,5	0,004	2,00	50.31117 18.67193	0,05	0,05
21	GKP 345°, przy budynku	1,9	2,3	0,006	2,00	50.31125 18.67228	0,08	0,08
22	PKP 360°, teren zielony	*0,7	0,9	0,002	0,3-2,00	50.31136 18.67244	0,03	0,03

23	PKP 18°, chodnik	1,1	1,4	0,004	2,00	50.31128 18.67265	0,05	0,05
24	DPP, w płaszczyźnie otworu okiennego, ul. Bernardyńska 17	1,2	1,5	0,004	1,80	-	0,05	0,05
25	PKP 360°, przy budynku plebanii	1,6	2,0	0,005	1,80	50.31143 18.67254	0,07	0,07
26	DPP, w płaszczyźnie otworu okiennego	1,3	1,6	0,004	1,80	-	0,06	0,06
27	PKP 58°, przy budynku	*0,7	0,9	0,002	0,3-2,00	50.31141 18.67382	0,03	0,03
28	GKP 345°, chodnik	*0,7	0,9	0,002	0,3-2,00	50.31212 18.67180	0,03	0,03
29	GKP 345°, chodnik	*0,7	0,9	0,002	0,3-2,00	50.31284 18.67151	0,03	0,03

* wynik spoza zakresu akredytacji - przy wskazaniach sondy poniżej dolnego zakresu akredytacji dla punktu pomiarowego, przyjęto do obliczeń wyniku skorygowanego wartość skorelowaną z rzeczywistym wynikiem pomiaru tj. dolną granicę akredytowanego zakresu pomiarowego metody 0,7 V/m.

¹ - GKP – Główny Kierunek Pomiarowy, PKP- Pomocniczy kierunek pomiarowy, DPP – Dodatkowy pion pomiarowy

² – wynik pomiaru, z uwzględnieniem współczynników Cf (charakterystyka częstotliwościowa) i Cd (charakterystyka dynamiczna).

³ - wynik pomiaru natężenia skutecznego pola elektromagnetycznego powiększony o niepewności pomiaru. Wartość chwilowa, zgodnie z pkt. 11 załącznika do rozporządzenia Ministra Klimatu z dnia 17 lutego 2020 r. (Dz. U. 2022 poz. 2630).

⁴ - wartość wyznaczona na podstawie pomiaru wartości skutecznej natężenia pola elektrycznego, z uwzględnieniem niepewności pomiaru, dla pomiarów wykonanych od źródła pól elektromagnetycznych, z zależności opisanej w pkt.3 załącznika do rozporządzenia Ministra Klimatu z dnia 17 lutego 2020 r. (Dz. U. 2022 poz.2630).

⁵ - wysokość liczona jest od poziomu podłoża, gruntu

⁶ - wartości wskaźnikowe zgodnie z pkt.25 ppkt.1 załącznika do rozporządzenia Ministra Klimatu z dnia 17 lutego 2020 r. (Dz. U. 2022 poz.2630):

$$WM_E = \frac{E}{\min(MEgr)}$$

$$WM_H = \frac{H}{\min(MHgr)}$$

gdzie:

WME (WMH) – oznacza wartość wskaźnikową poziomu emisji pól elektromagnetycznych dla miejsc dostępnych dla ludności dla składowej elektrycznej (magnetycznej) pola,

E (H) – oznacza zmierzoną wartość skuteczną natężenia pola elektrycznego E, wyrażoną w V/m, (natężenia pola magnetycznego H, wyrażonego w A/m), uśrednioną w sposób określony w przepisach wydanych na podstawie art. 122 ust. 1 ustawy z dnia 27 kwietnia 2001 r. – Prawo ochrony środowiska lub zgodnie z pkt. 11 załącznika do rozporządzenia Ministra Klimatu z dnia 17 lutego 2020 r. (Dz. U. 2022 poz. 2630).

min(MEgr), (min MHgr) – oznacza najniższą dopuszczalną wartość składowej elektrycznej (magnetycznej) pola dla objętego pomiarami zakresu częstotliwości dla miejsc dostępnych dla ludności określoną w przepisach wydanych na podstawie art. 122 ust. 1 ustawy z dnia 27 kwietnia 2001 r. – Prawo ochrony środowiska wyrażoną w V/m rozporządzeniem Min. Zdrowia z 17 grudnia 2019 roku Dz.U 2019 poz.2448.

Oszacowana niepewność rozszerzona przeprowadzonych pomiarów natężenia pola elektromagnetycznego nie przekracza 23,0 % (niepewność rozszerzona przy prawdopodobieństwie rozszerzenia ok.95% i współczynniku k=2).

Badanie wykonywano metodą dwóch sond szerokopasmowych opisaną w dokumencie Z7.4.5 Ocena możliwości realizacji metody badawczej wydanie z 2022-06-10 W każdym z pionów pomiarowych sprawdzono i wykluczono udział promieniowania radiolinii w badanym widmie, korzystając z w/w metody.

W czasie badania wykonano pomiar kontrolny. Zmienność poziomu pola elektromagnetycznego w pkt. 5 referencyjnych została uwzględniona w niepewności pomiarów.

Brak dostępu/odmowa ul. Floriańska 10b/3-6 oraz ul. Bernardyńska 17a.

13. Podsumowanie

Dopuszczalny poziom promieniowania, dla poszczególnych zakresów częstotliwości, charakteryzują parametry fizyczne określone w załączniku do Rozporządzenia Ministra Zdrowia z dnia 17 grudnia 2019 r. w sprawie dopuszczalnych poziomów pól elektromagnetycznych w środowisku (Dz. U. 2019, poz. 2448) – tabela nr 7.

Tabela nr 7 – Dopuszczalne poziomy pól elektromagnetycznych dla miejsc dostępnych dla ludności.

Zakres częstotliwości pola elektromagnetycznego	Składowa elektryczna E (V/m)	Składowa magnetyczna H (A/m)	Gęstość mocy S (W/m ²)
0 Hz	10000	2500	ND
Od 0 Hz do 0,5 Hz	ND	2500	ND
Od 0,5 Hz do 50 Hz	10000	60	ND
Od 0,05 Hz do 1 kHz	ND	3 / f	ND

Od 1 kHz do 3 kHz	250 / f	5	ND
Od 3 kHz do 150 kHz	87	5	ND
Od 0,15 MHz do 1 MHz	87	0,73 / f	ND
Od 1 MHz do 10 MHz	$87 / f^{0,5}$	0,73 / f	ND
Od 10 MHz do 400 MHz	28	0,073	2
Od 400 MHz do 2000 MHz	$1,375 \times f^{0,5}$	$0,0037 \times f^{0,5}$	f / 200
Od 2 GHz do 300 GHz	61	0,16	10

Podczas badania przyjęto, jako wartości dopuszczalną poziomu pola elektromagnetycznego w środowisku wartość 2 W/m^2 (28 V/m), tj. wartość dopuszczalną dla dolnego zakresu pasma 400MHz - 2000MHz.

Pomiary wykonano dla średniego kąta pochylenia wiązki. Przeprowadzone badania w środowisku, w obszarze pomiarowym, w otoczeniu badanej stacji bazowej, w zmierzonych pionach pomiarowych, nie wykazały przekroczenia 60% wartości dopuszczalnych poziomów pól elektromagnetycznych. W związku z tym nie wymagane są dodatkowe pomiary dla największego i najmniejszego stosowanego lub planowanego kąta pochylenia wiązki, zgodnie z pkt 13. ppkt. 2 załącznika do rozporządzenia Ministra Klimatu z dnia 17 lutego 2020 r. (Dz. U. 2022 poz. 2630). Zgodnie z pkt 25 rozporządzenia Ministra Klimatu z dnia 17 lutego 2020 r. (Dz. U. 2022 poz. 2630), nie jest wymagane wykonanie pomiaru miernikiem selektywnym.

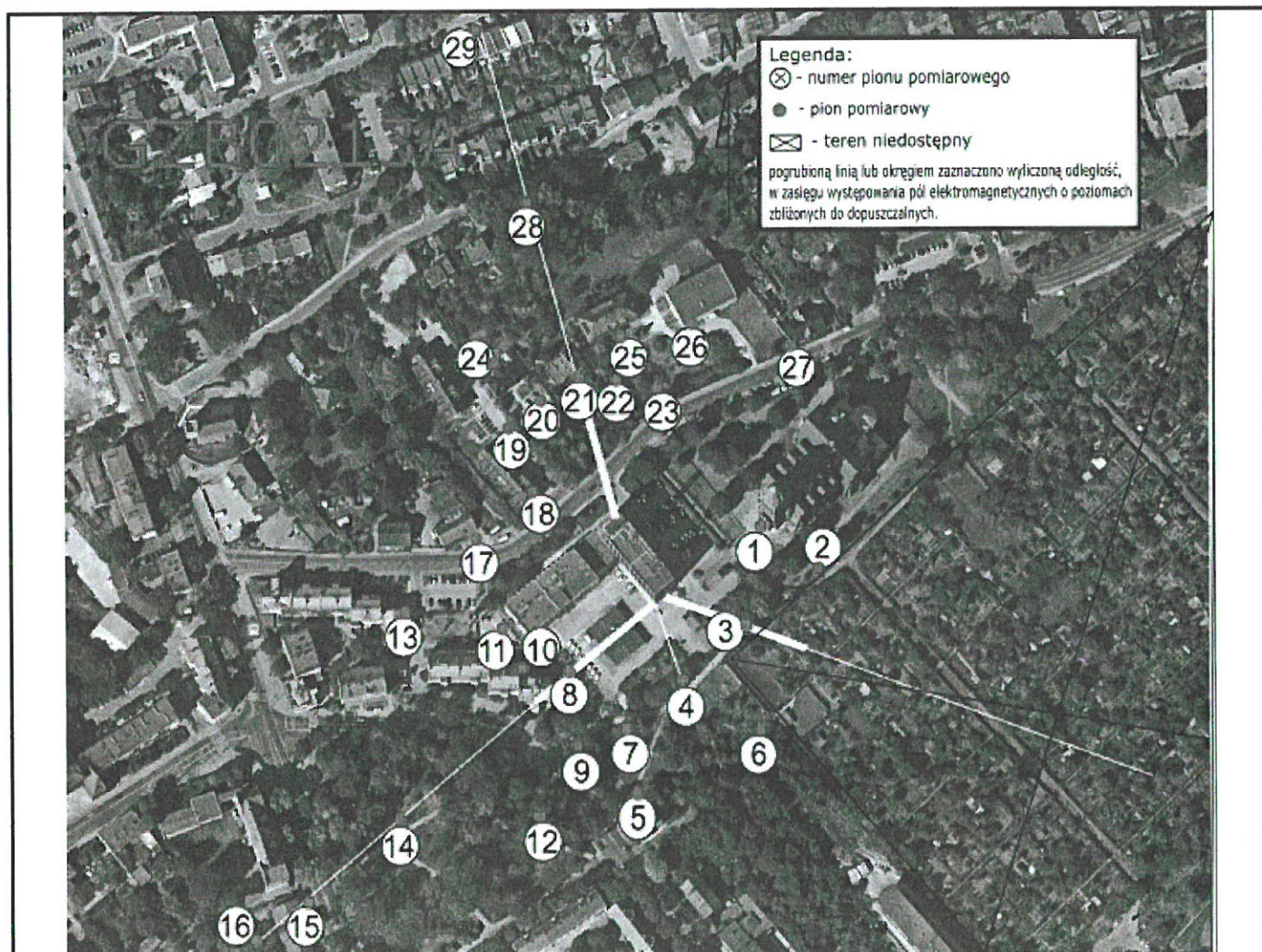
Stwierdzenie zgodności:

Na podstawie wytycznych wskazanych w obwieszczeniu Ministra Klimatu i Środowiska z dnia 21 listopada 2022 r. w sprawie ogłoszenia jednolitego tekstu rozporządzenia Ministra Klimatu w sprawie sposobów sprawdzania dotrzymywania dopuszczalnych poziomów pól elektromagnetycznych w środowisku (Dz. U. 2022, poz. 2630) oraz na podstawie otrzymanych wyników pomiarów i informacji uzyskanych od klienta, stwierdzono iż w miejscach dostępnych dla ludności do których uzyskano dostęp, w żadnym punkcie/pionie pomiarowym, w środowisku wokół stacji bazowej **GZB0213A** nie występują przekroczenia dopuszczalnych poziomów pól elektromagnetycznych, określonych w tabeli nr 7, w badanym zakresie pomiarowym od 400MHz do 90 GHz.

Dopuszczalne poziomy pól elektromagnetycznych w środowisku określone w przepisach wydanych na podstawie art.122 ust. 1 ustawy z dnia 27 kwietnia 2001 r. – Prawo ochrony środowiska uznaje się za dotrzymane w badanym obszarze pomiarowym, w zmierzonych pionach pomiarowych, gdyż w wyniku zastosowania sprawdzenia dotrzymywania dopuszczalnych poziomów pól elektromagnetycznych w środowisku, o którym mowa w pkt. 25 ppkt.1 i pkt. 26 (załącznika do rozporządzenia Ministra Klimatu z dnia 17 lutego 2020 r. Dz. U. 2022 poz. 2630), żadna z wartości wskaźnikowych nie przekracza 1.

14. Załączniki

Załącznik nr 1 – Rysunek poglądowy terenu, rozmieszczenie pionów pomiarowych na terenie wokół stacji



Załącznik nr 1 – Rysunek poglądowy terenu, rozmieszczenie pionów pomiarowych na terenie wokół stacji, GZB0213A – 44-102 Gliwice, ul. Bernardyńska 14

Skala:
1:3200

Koniec sprawozdania